








UNIVERSITÉ  
LIBRE  
DE BRUXELLES



# Thermodynamique appliqué

## Cycles moteurs

*Alessandro Parente*

-  16/11 - Cycle de Rankine et Rankine-Hirn (2h)
-  23/11 - Cycles de Joule, Ericsson, Otto, Stirling, Diesel (3h)
-  30/11 - Cycles frigorifiques et Relations thermodynamiques (3h)
-  7/12 - Mélanges de gaz (2h)
-  13/12 - Combustion (2h) + questions

## Introduction

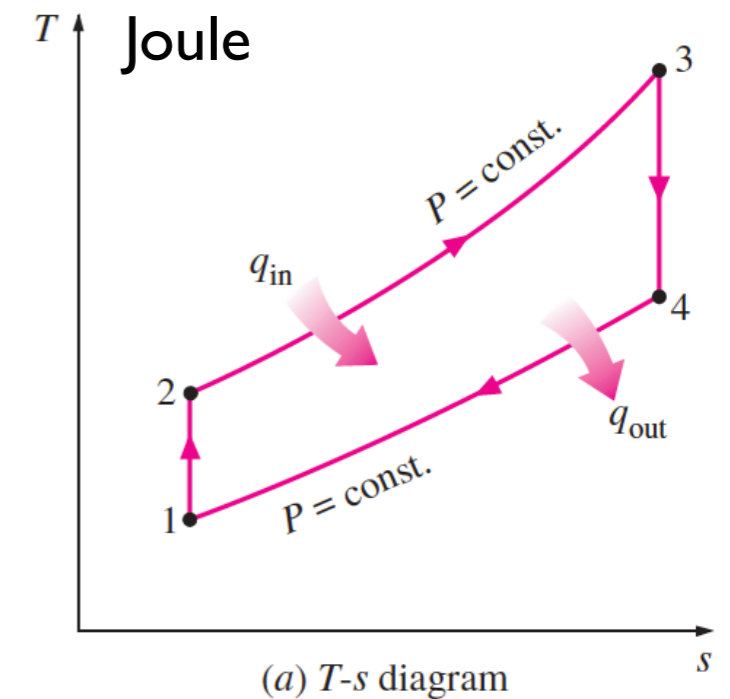
- Travail réversible pour systèmes fermés et ouverts
- Le diagramme entropique
  - Compression, détente
  - Chauffe, refroidissement

## Cycle Rankine-Hirn

- Analyse énergétique
- Cycle réel vs. cycle idéal
- Améliorations au cycle
  - Baisse de la pression de condenseur
  - Surchauffe de la vapeur
  - Augmentation de la pression maximale
- Alternatives au cycle de Rankine-Hirn
  - Cycle à resurchauffe
  - Cycle à soutirage

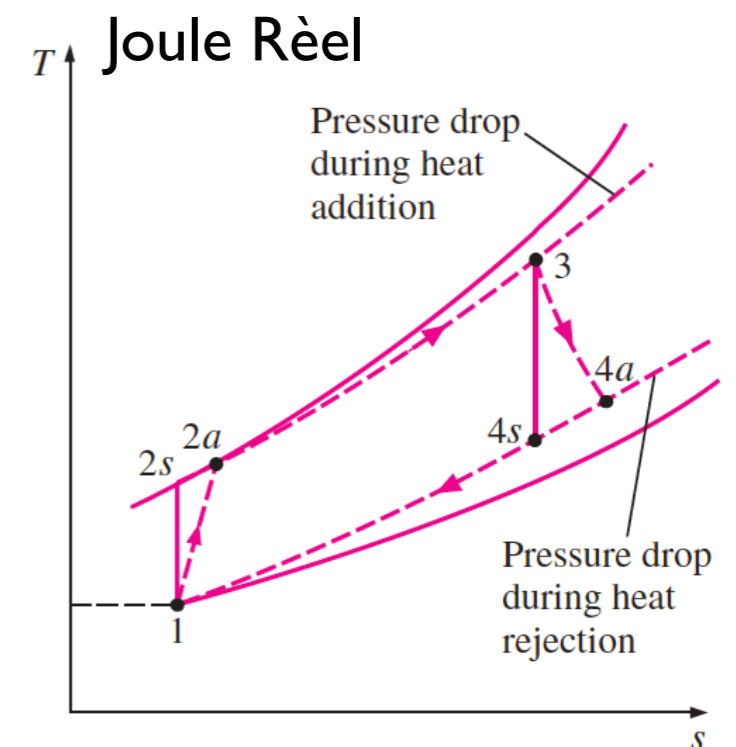
**Cycle:** ensemble de transformations après lesquelles le fluide moteur retourne à son état initiale

- Générateurs de puissance comme la centrale thermique à vapeur réalisent un cycle
- Moteurs à combustion interne (moteurs volumétriques et turbines à gaz) n'effectuent pas un cycle: le fluide moteur quitte le dispositif avec une composition/pression/température différente que à l'entrée.



**Cycle idéalisés:** cycles qui approximent le processus réel:

- Approche pratique pour analyser les performances des systèmes moteurs
- Fluide moteur:
  - Substance à changement de phase
  - Gaz parfait ( $C_p$  constant)



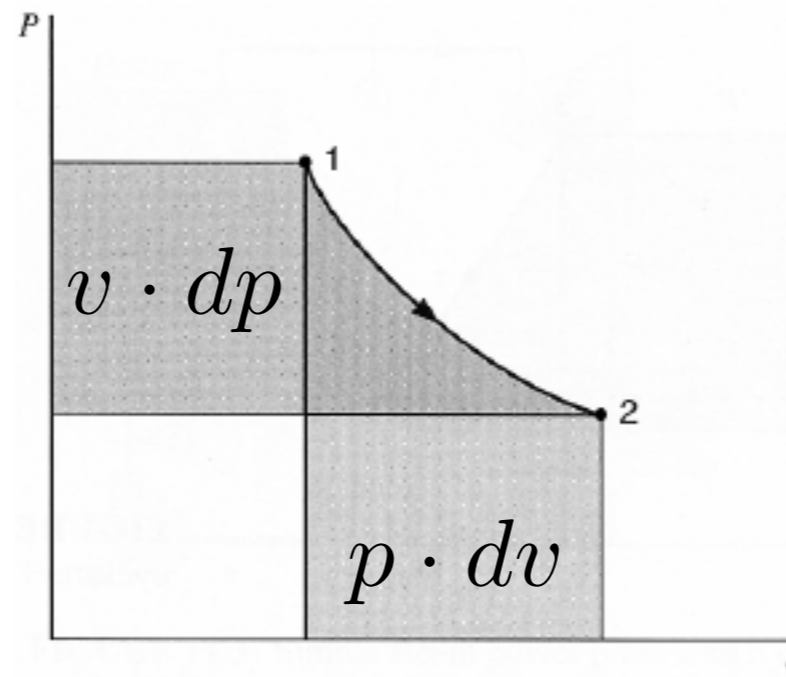
 Cycles moteurs:

- Systèmes fermés en évolution temporelle → travail de déplacement de frontière


$$dw_{rev} = -p \cdot dv$$

- Systèmes ouverts en régime permanent, qui font intervenir du travail à l'arbre d'une machine tournante

$$dw_{rev} = v \cdot dp$$





 Expression du travail associé aux systèmes permanents en fonction des propriétés du fluide

premier principe pour systèmes ouvertes

$$\delta q_{rev} + \delta w_{rev} = dh + dke + dpe$$

Définition d'entropie

$$\delta q_{rev} = T \cdot ds$$

$$\delta q_{rev} = dh - v \cdot dp$$

Equation de Gibbs

$$T \cdot ds = dh - v \cdot dp$$

travail réversible  
( $v=cte \rightarrow$  équation Bernoulli)

$$\delta w_{rev} = v \cdot dp + dke + dpe$$

$$v = cte \quad \delta w_{rev} = v(p_2 - p_1) + \frac{(v_2^2 - v_1^2)}{2} + g(z_2 - z_1)$$

$dke$  et  $dpe \approx 0$   
(majorité systèmes TD)

$$\delta w_{rev} = v \cdot dp$$

> 0 compresseur, pompe  
< 0 turbine

-  Diagramme entropique ( $T$ - $s$ ) - Très pratique pour les échanges de chaleur: l'aire inscrite sous une transformation réversible est égale à la quantité de chaleur échangée

$$\delta q_{rev} = T \cdot ds$$

- Transformations adiabatique (compression et détente): lignes droites
- Transformations  $v=cte$  ou  $p=cte$  (gaz parfait)  $\rightarrow$  fonction exponentielle

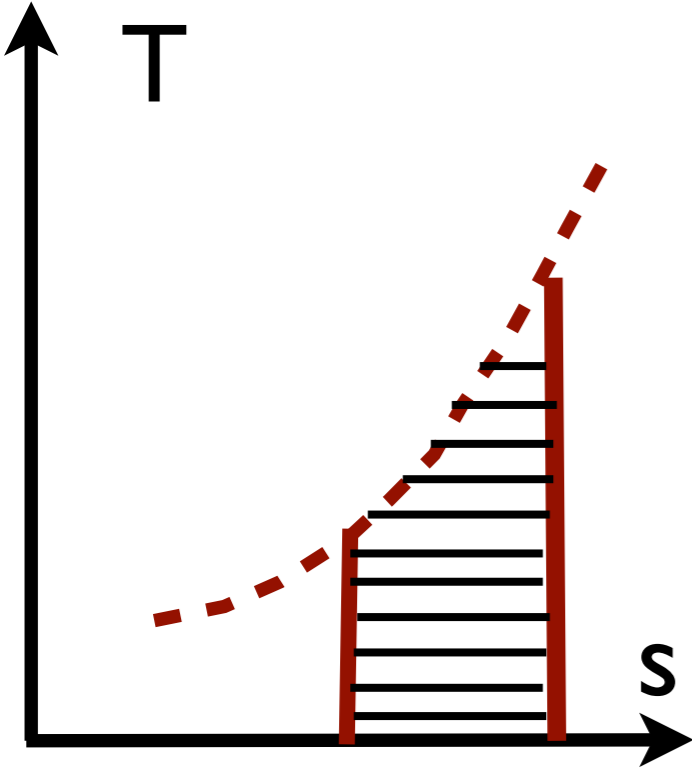
Entropie d'un gaz parfait (Eq. 7.18, 7.20)

$$ds = c_p \cdot \frac{dT}{T} - R \cdot \frac{dp}{p} = c_v \cdot \frac{dT}{T} + R \cdot \frac{dv}{v}$$

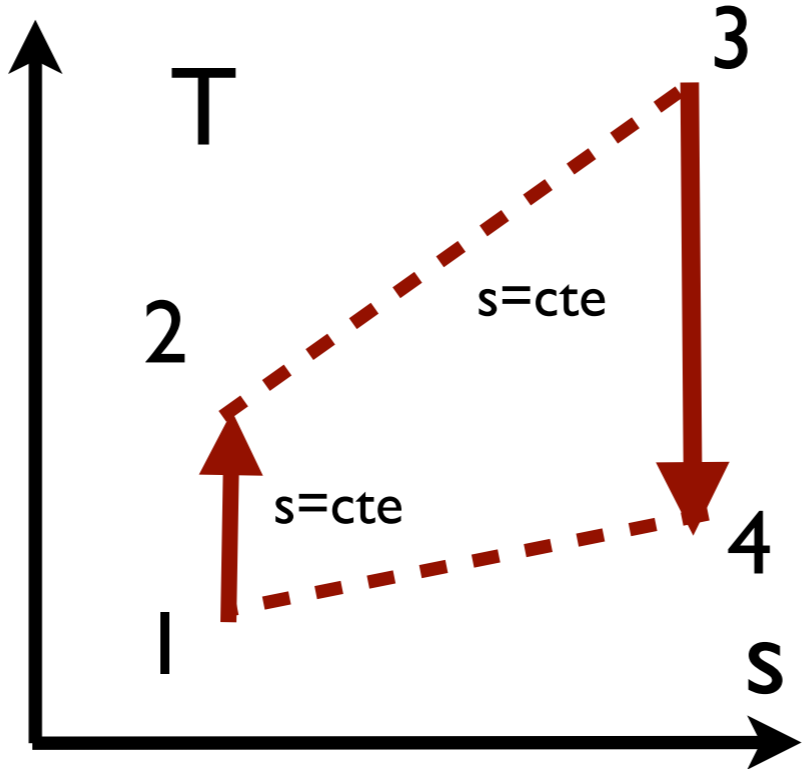
$$\begin{array}{ll}
 p = cte & ds = c_p \cdot \frac{dT}{T} & s = c_p \ln T + B & T = k \cdot e^{\frac{s}{c_p}} \\
 v = cte & ds = c_v \cdot \frac{dT}{T} & s = c_v \ln T + B & T = k \cdot e^{\frac{s}{c_v}}
 \end{array}$$

**Diagramme entropique (T-s)**

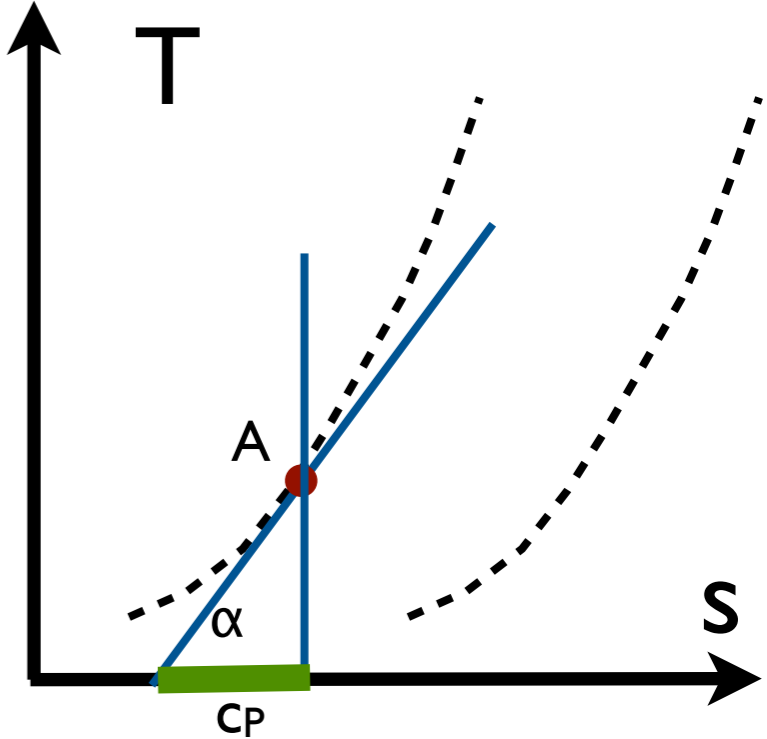
**Echanges de chaleur**



**Compression et détente adiabatiques et réversibles**



**Transformations isobares (et isochores)**

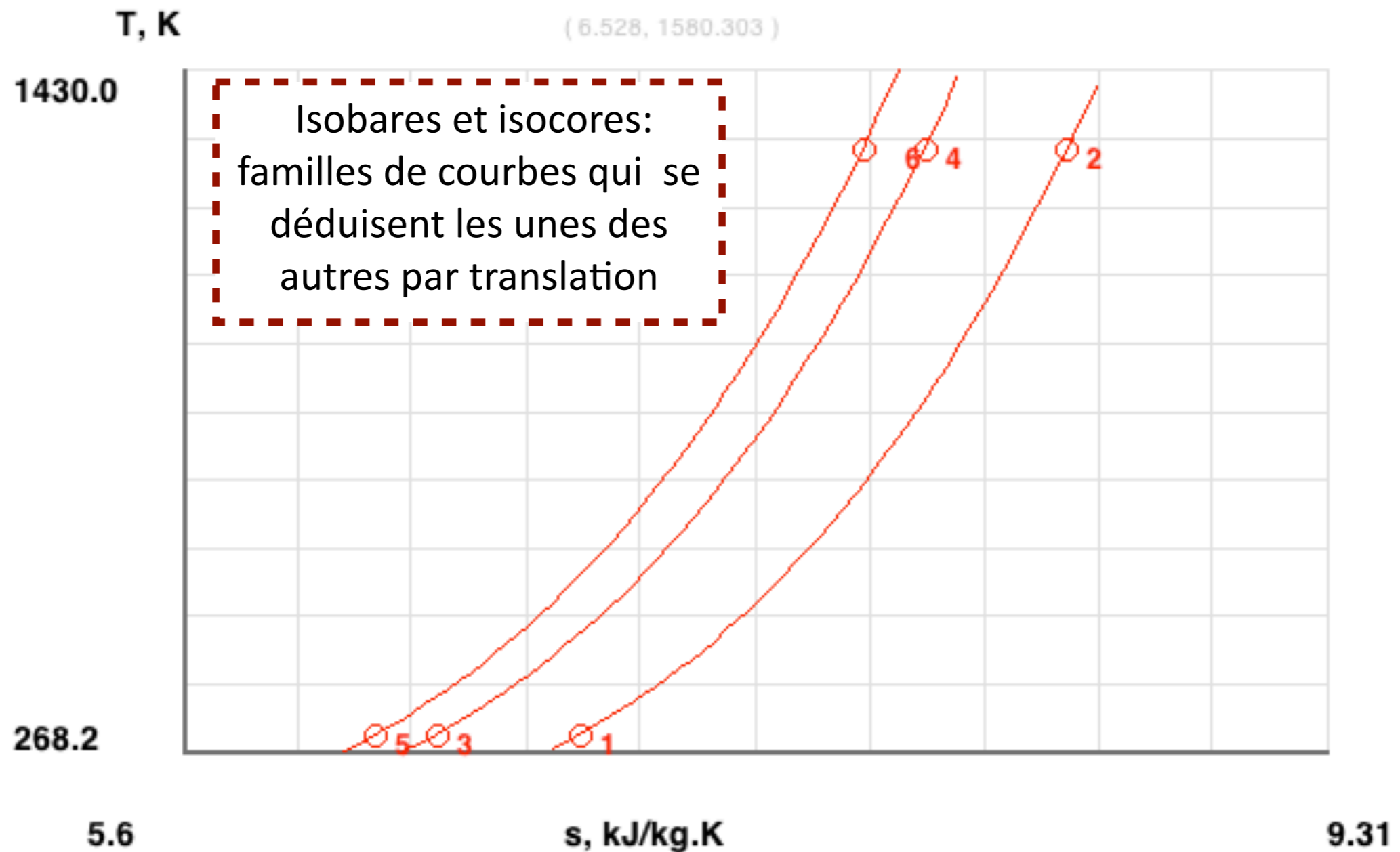


$$\frac{T}{c_p} = \frac{dT}{ds} = \text{tg}\alpha$$



## Diagramme entropique ( $T-s$ )

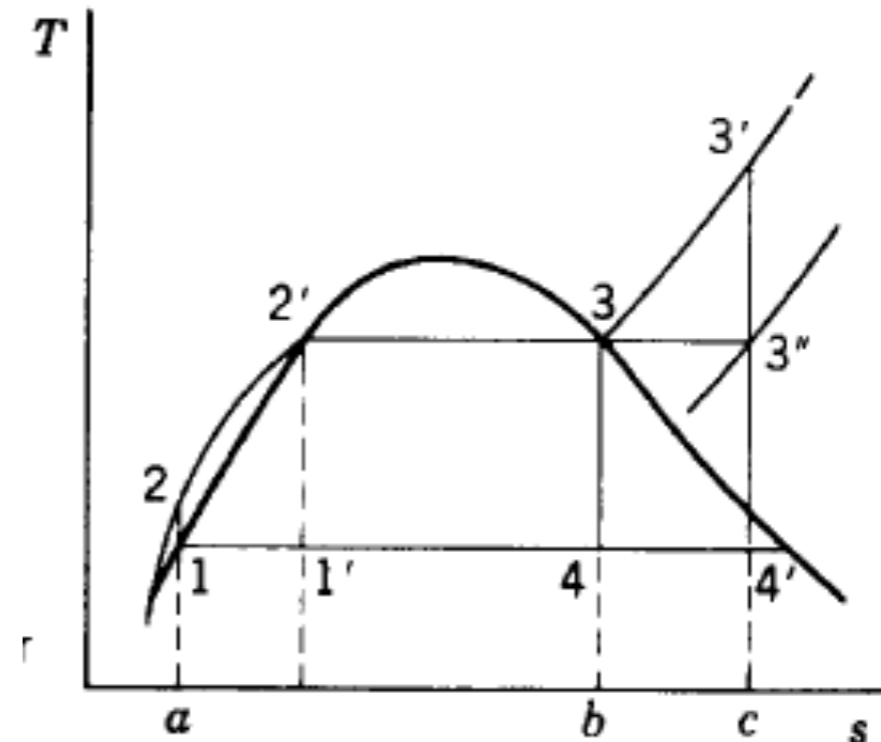
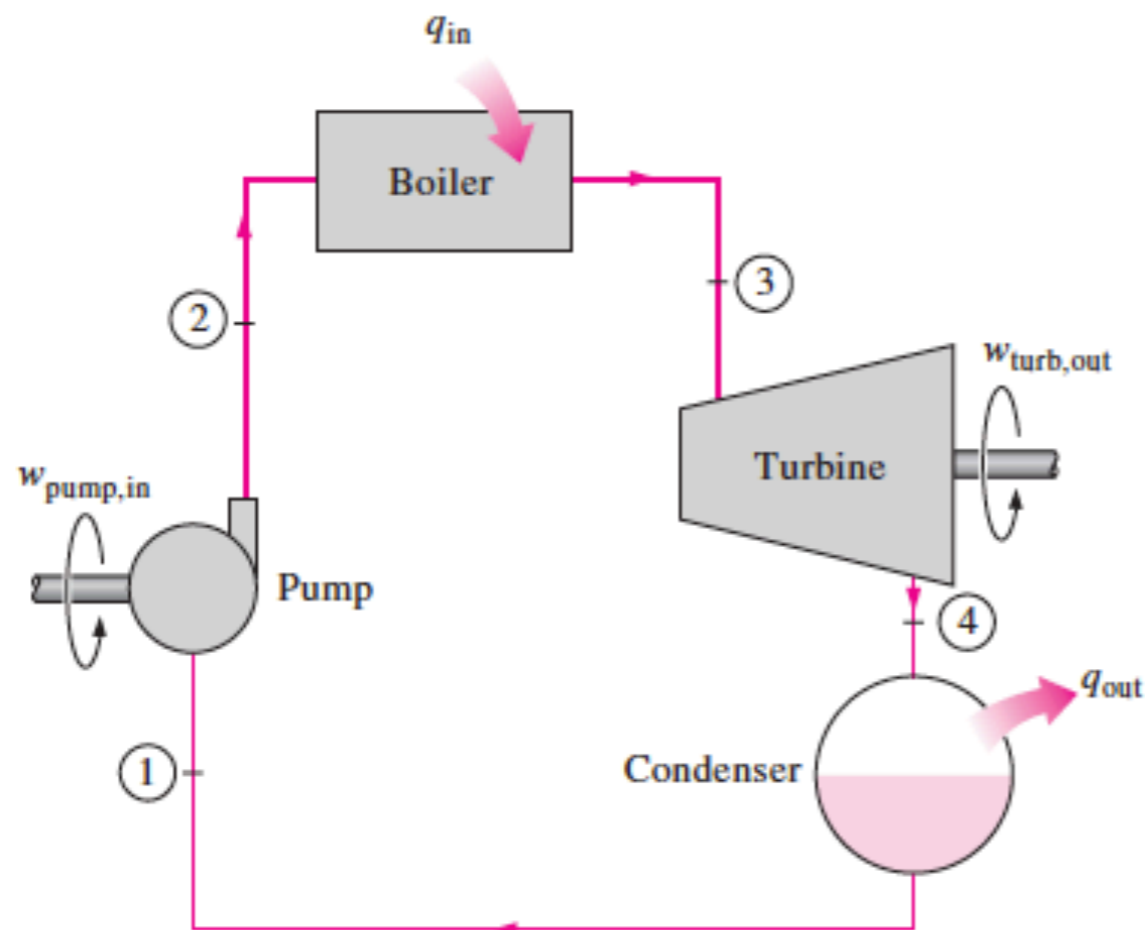
- Isobares pour un gaz idéal à  $p=1$  bar, 5 bar et 10 bar





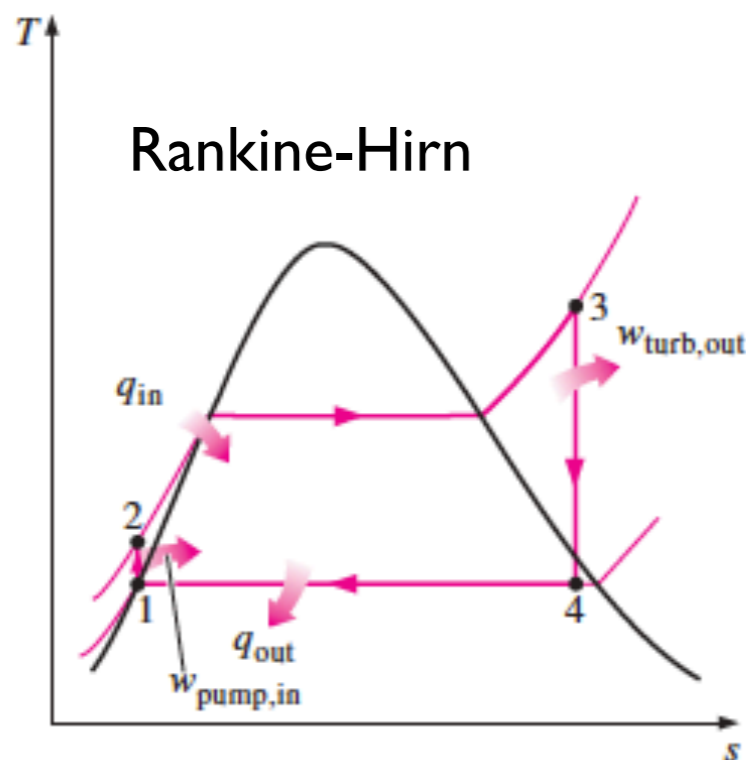
## Cycle idéal des centrales thermiques à vapeur d'eau

- 4 transformations de systèmes ouverts en régime permanent
  - 1–2 : pompage adiabatique et réversible dans la pompe, à partir d'un état de liquide saturé
  - 2–3 : échange de chaleur isobare dans la chaudière jusqu'à l'état de vapeur saturée
  - 3–4 : détente adiabatique et réversible dans la turbine
  - 4–1 : échange de chaleur isobare dans le condenseur



Travail effectué d'autant plus grand que la différence de volume massique entre les phases de détente et de compression est grande  $w_{net} = w_{turbine}^* - w_{pompe}$

- Changement de phase afin de maximiser cette différence



$$w_{pompe} = v_L \cdot \int_{p_1}^{p_2} dp = v_L (p_2 - p_1)$$

$$w_{turbine} = \int_{p_4}^{p_3} v_V \cdot dp$$

$$v_L \ll v_V \rightarrow w_{pompe} \ll |w_{turbine}|$$

Une variante est le **cycle de Hirn** dans lequel la vapeur est surchauffée avant d'être détendue (centrales électriques)

## Analyse énergétique

$$q + w = h_2 - h_1$$

### Remarque "pratique" pour les cycles idéals

Les systèmes qui échangent de la chaleur n'échangent pas de travail et vice versa!

- Pompe ( $q=0$ )

$$w_{pompe} = h_2 - h_1 = v(p_2 - p_1) = 1/\rho(p_2 - p_1)$$

- Chaudière ( $w=0$ )

$$q_{in} = h_3 - h_2$$

- Turbine ( $q=0$ )

$$w_{turbine}^* = h_3 - h_4$$

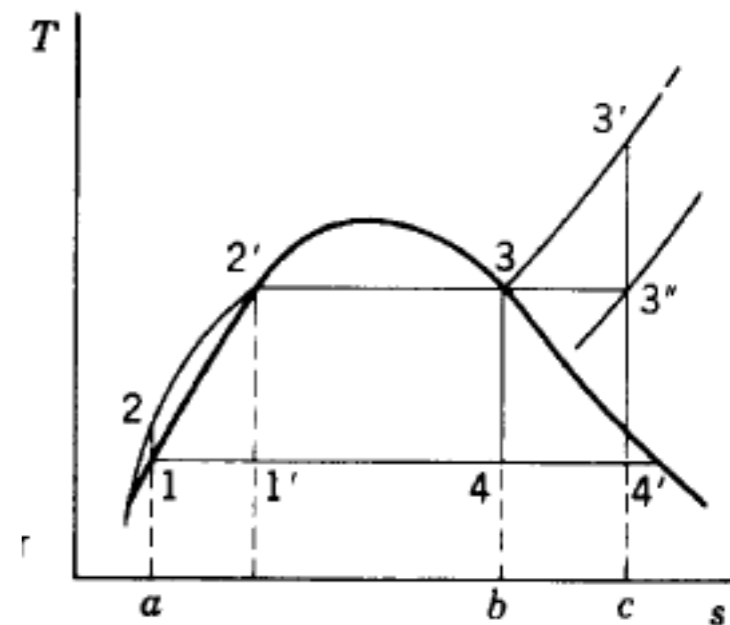
- Condenseur ( $w=0$ )

$$q_{out} = h_1 - h_4$$

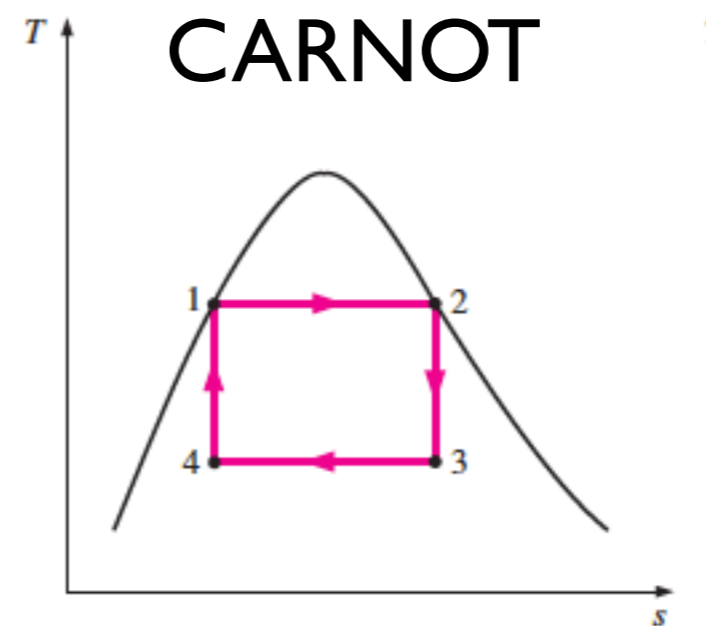
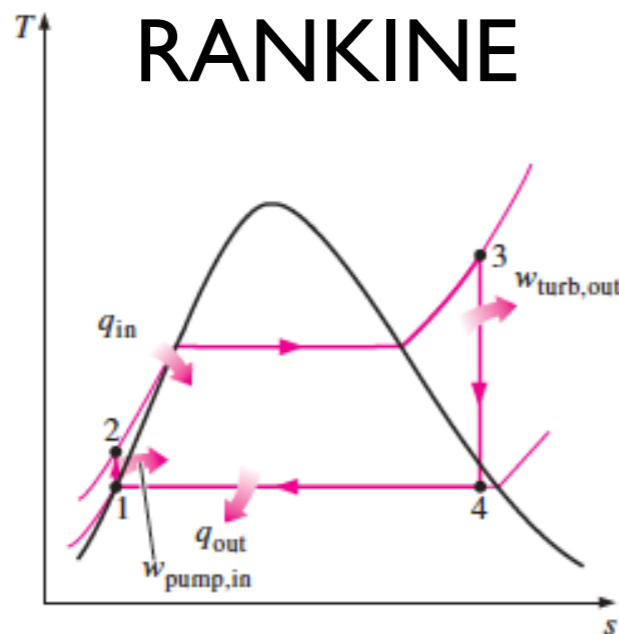
- Efficacité thermique

$$\epsilon_{th} = \frac{\text{aire } 1-2-2'-3-4-1}{\text{aire } a-2-2'-3-b-a}$$

$$\epsilon_{th} = \frac{w_{turbine}^* - w_{pompe}}{q_{in}} = \frac{q_{in} - q_{out}}{q_{in}} = 1 - \frac{q_{out}}{q_{in}}$$



- Rendement exergetique du cycle de Rankine (>80 %) inférieure à celui du cycle de Carnot (production d'entropie chauffage 2 – 2')

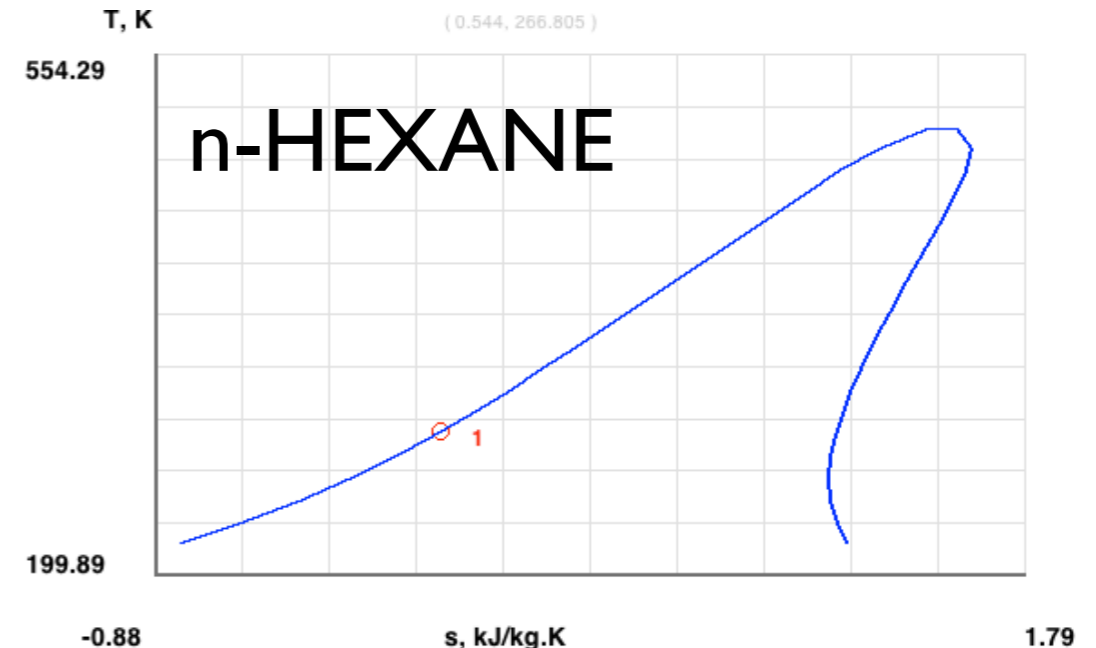
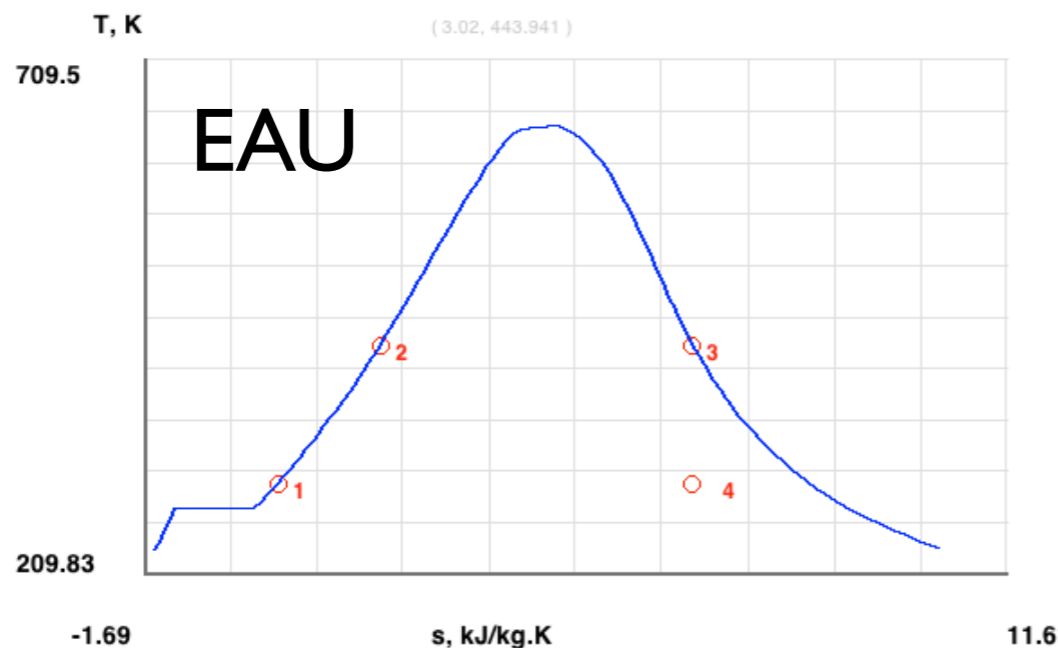


- Cycle de Carnot pour le centrales thermiques?? Non!

- Compression d'un mélange liquide/vapeur → grands dangers d'endommagement des matériels
- Titre de vapeur à la sortie de la turbine pas assez élevé (érosion)

## Inconvénients du cycle de Rankine.

- **Condenseur** Le condenseur sous vide pour utiliser l'ambiance comme source froide (en générale eau 298 K) → complications technologiques
- **Condensation partielle dans la turbine** Titre de vapeur à la sortie de la turbine inférieur à 0.88 (valeur limite pour éviter l'érosion)
  - $T_C < 573$  K (titre après détente  $> 0.88$ )
  - Machine volumétrique → puissances limitées
  - Fluides organiques (cloche penchée vers la droite du diagramme Ts)

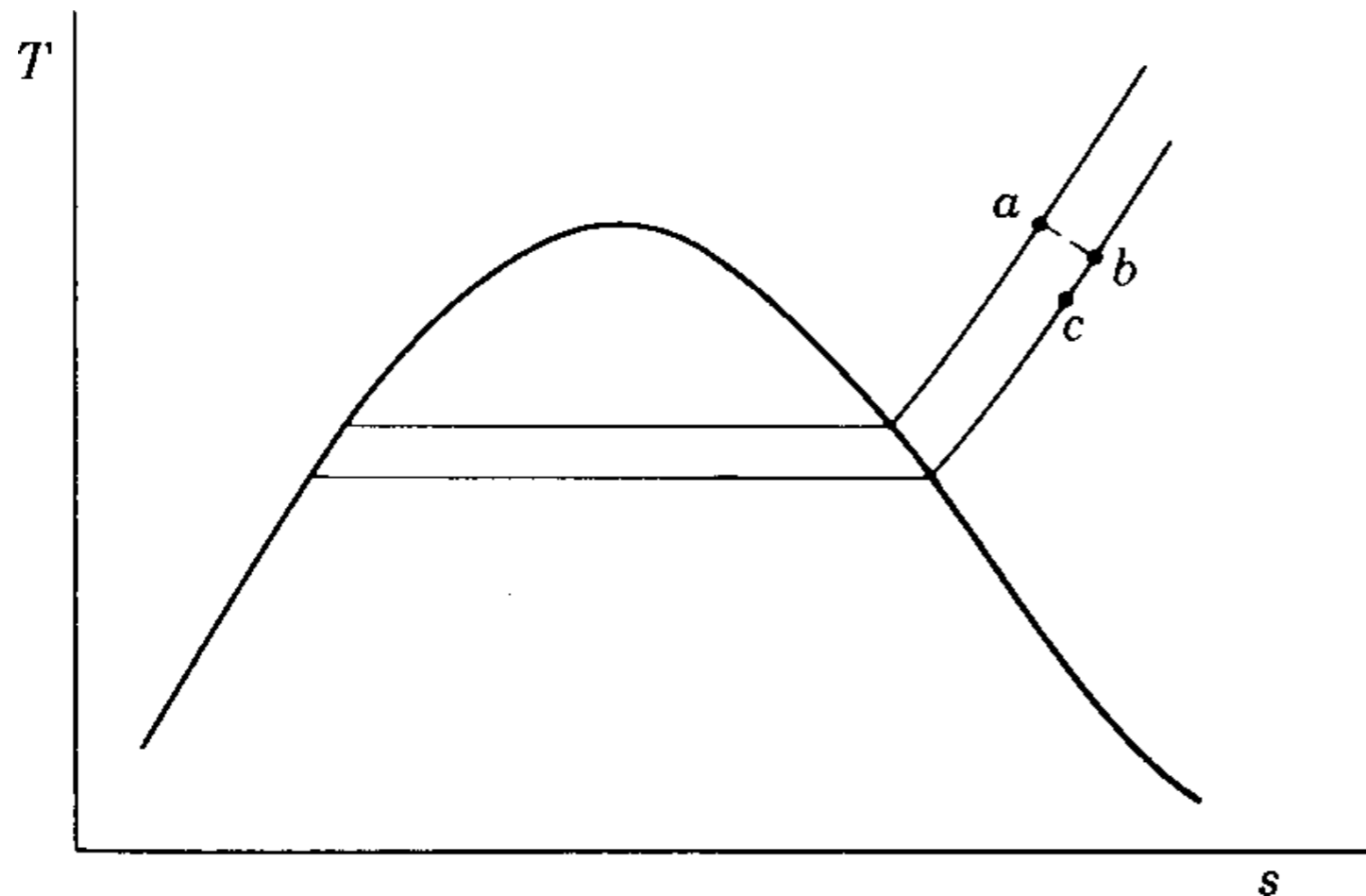




### Écart entre cycle de Rankine réel et idéal

#### • Pertes en tuyauterie

- ▶ Pertes de charge dues à la dissipation visqueuse
- ▶ Pertes de chaleur vers l'ambiance



**a – b : perte de charge**

$h_b = h_a$  ( $q = w = 0$ ) et  $p_b < p_a$ .

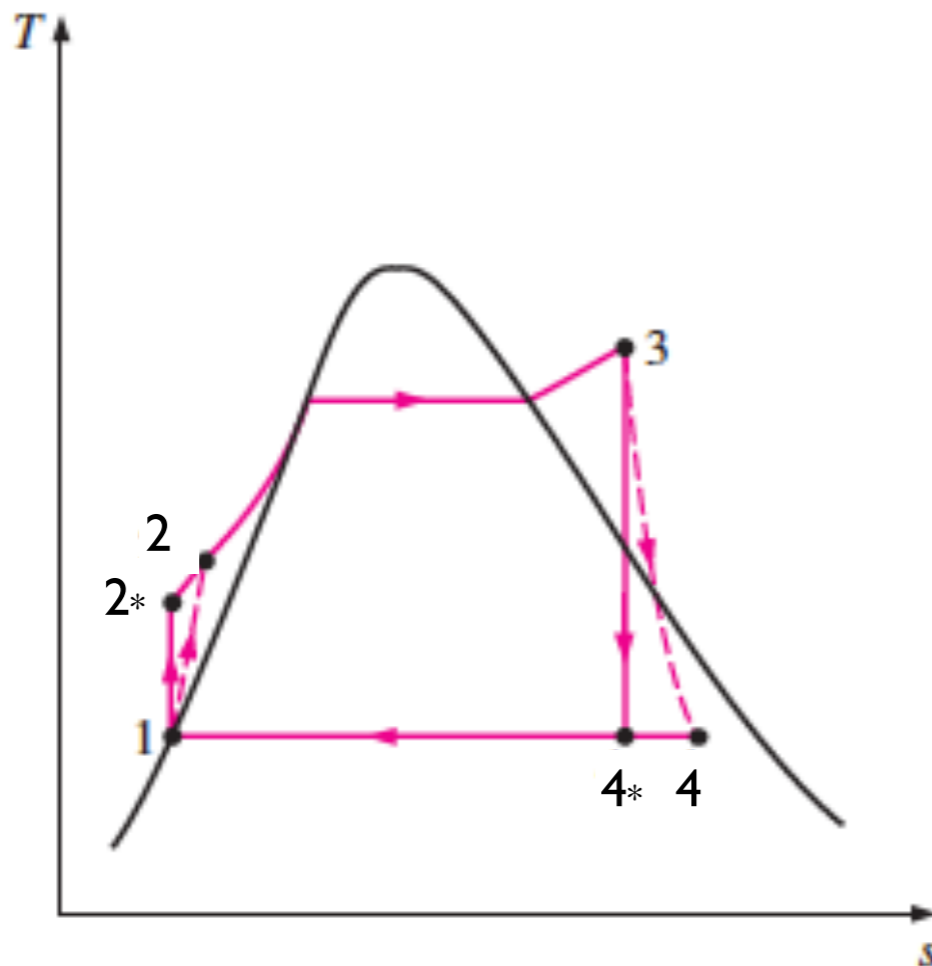
**b – c transfert de chaleur**

$h_b > h_c$  ( $q < 0$ ), et  $p_b = p_c$

## Écart entre cycle de Rankine réel et idéal

### • Pertes dans la turbine et dans la pompe

- Pertes par dissipation visqueuse (rendements isentropiques)



$$\eta_p = \frac{w_{p,ideal}}{w_p} = \frac{h_{2*} - h_1}{h_2 - h_1}$$

$$\eta_t = \frac{w_t^*}{w_{t,ideal}^*} = \frac{h_3 - h_4}{h_3 - h_{4*}}$$

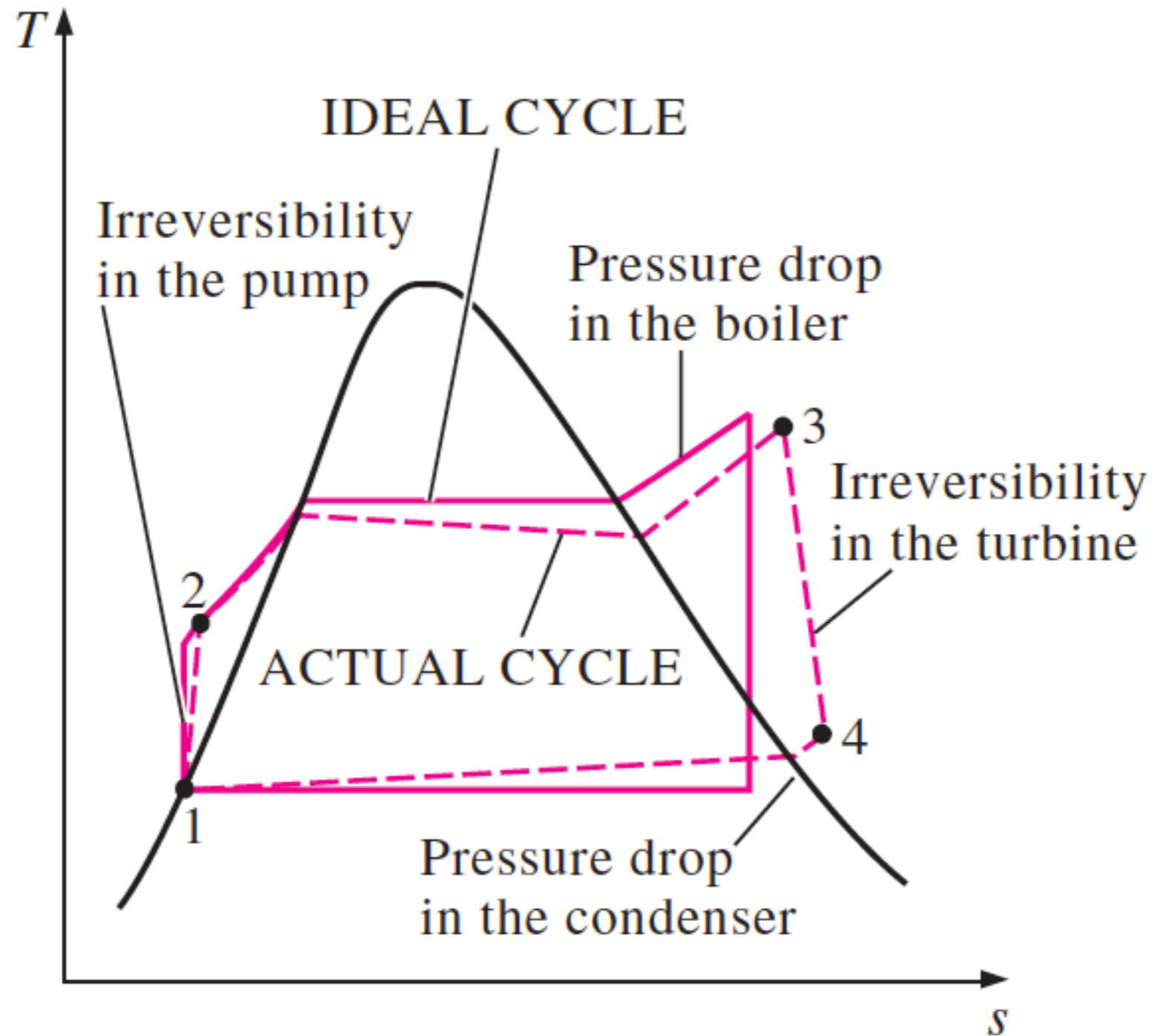
### • Pertes dans le condenseur

- Refroidissement du liquide sous la température de saturation dans le condenseur.

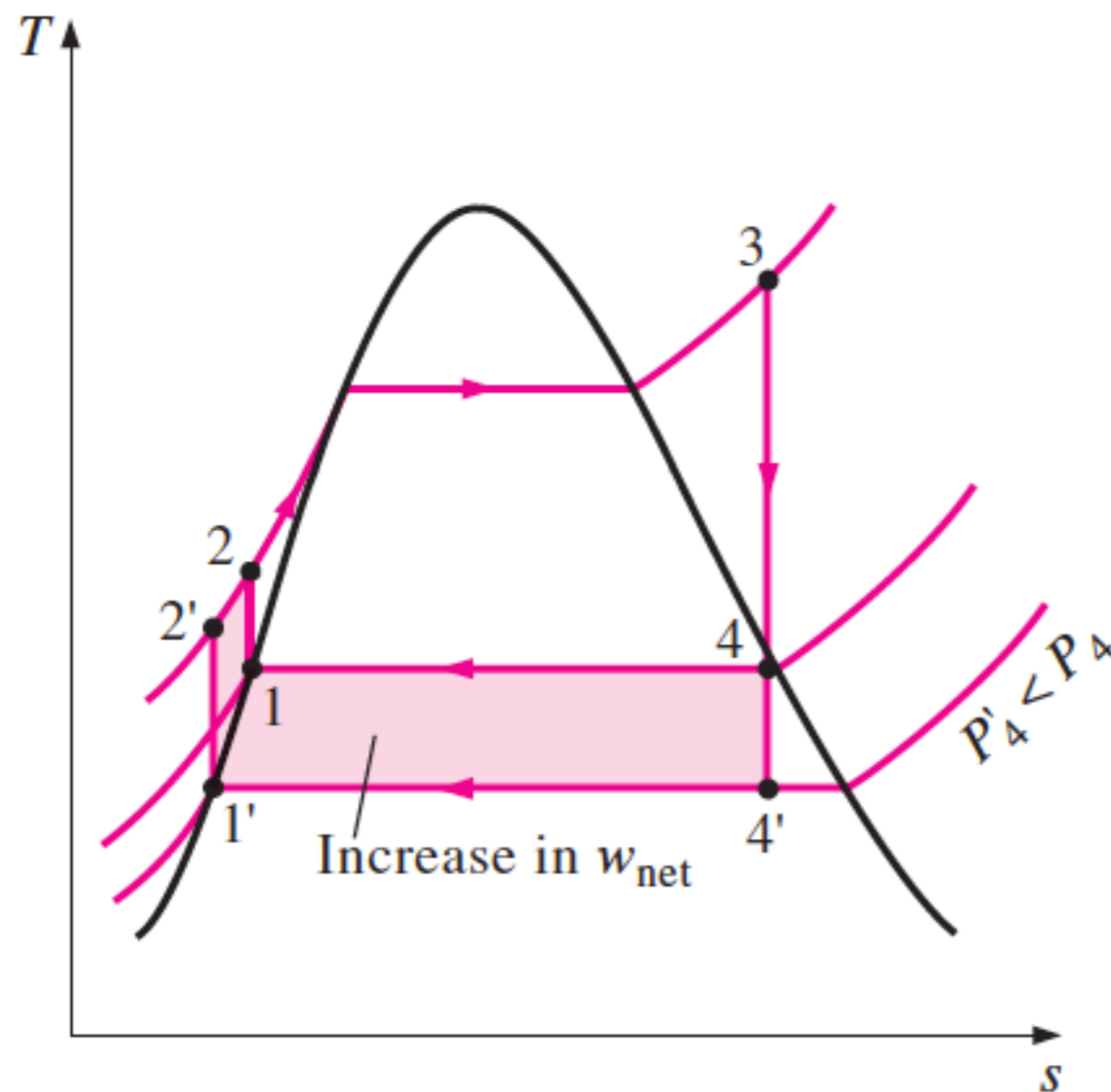




## Cycle Rankine-Hirn réel



## Baisse de la pression de condenseur



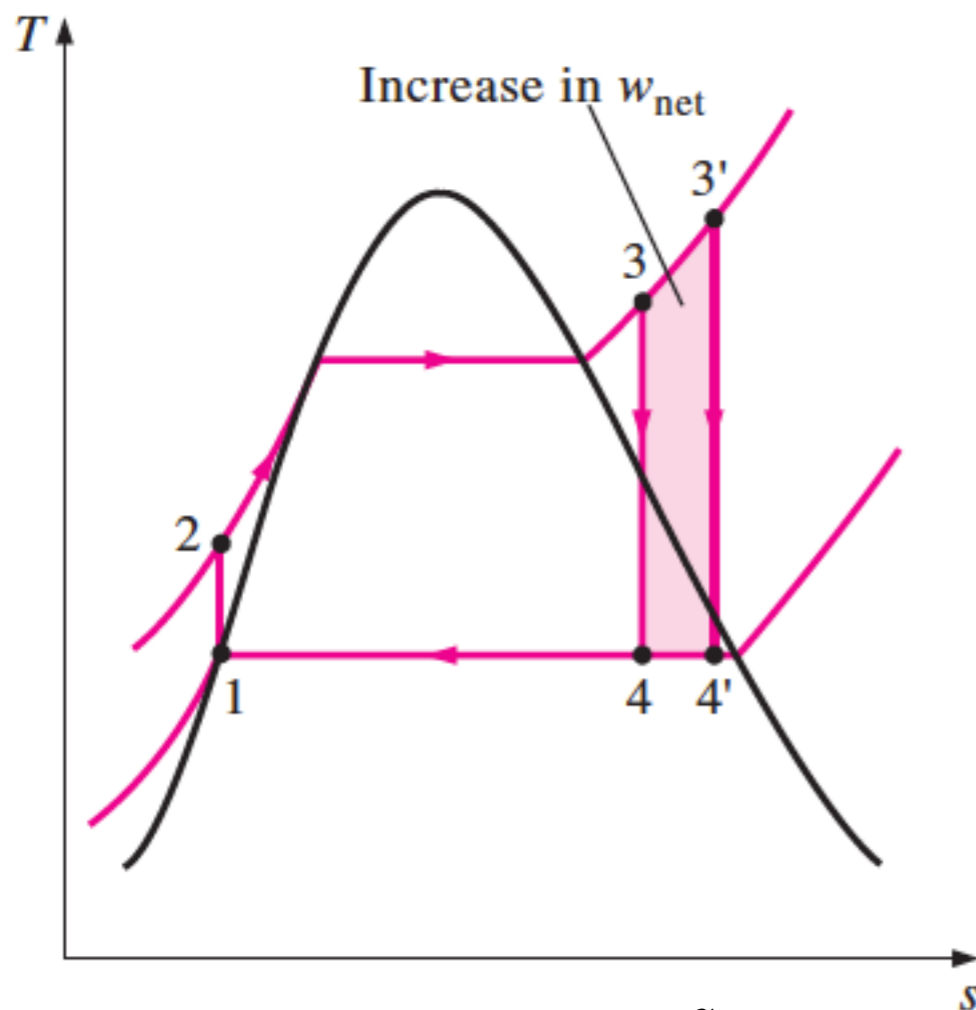
- Le travail net augmente de la surface en rose (1'-2'-2-1-4'-4)
- La chaleur fournie au liquide augmente de l'aire sous la courbe 2'-2 ( $dq = T ds$ )
- L'efficacité thermique augmente

$$\Delta w > \Delta q$$

### Attention!

- réduction du titre en baissant  $p_4$
- $p_4$  telle que  $x_L < 0.1 \rightarrow$  diminution du rendement, érosion

### Surchauffe de la vapeur (cycle de Rankine-Hirn)



- Le travail net augmente de la surface en rose (3-3'-4'-4)
- La chaleur fournie au liquide augmente de l'aire sous la courbe 3-3' ( $dq = T ds$ )
- L'effet net est une augmentation de l'efficacité (la température moyenne lors du chauffage augmente)
- La teneur en eau en 4' diminue

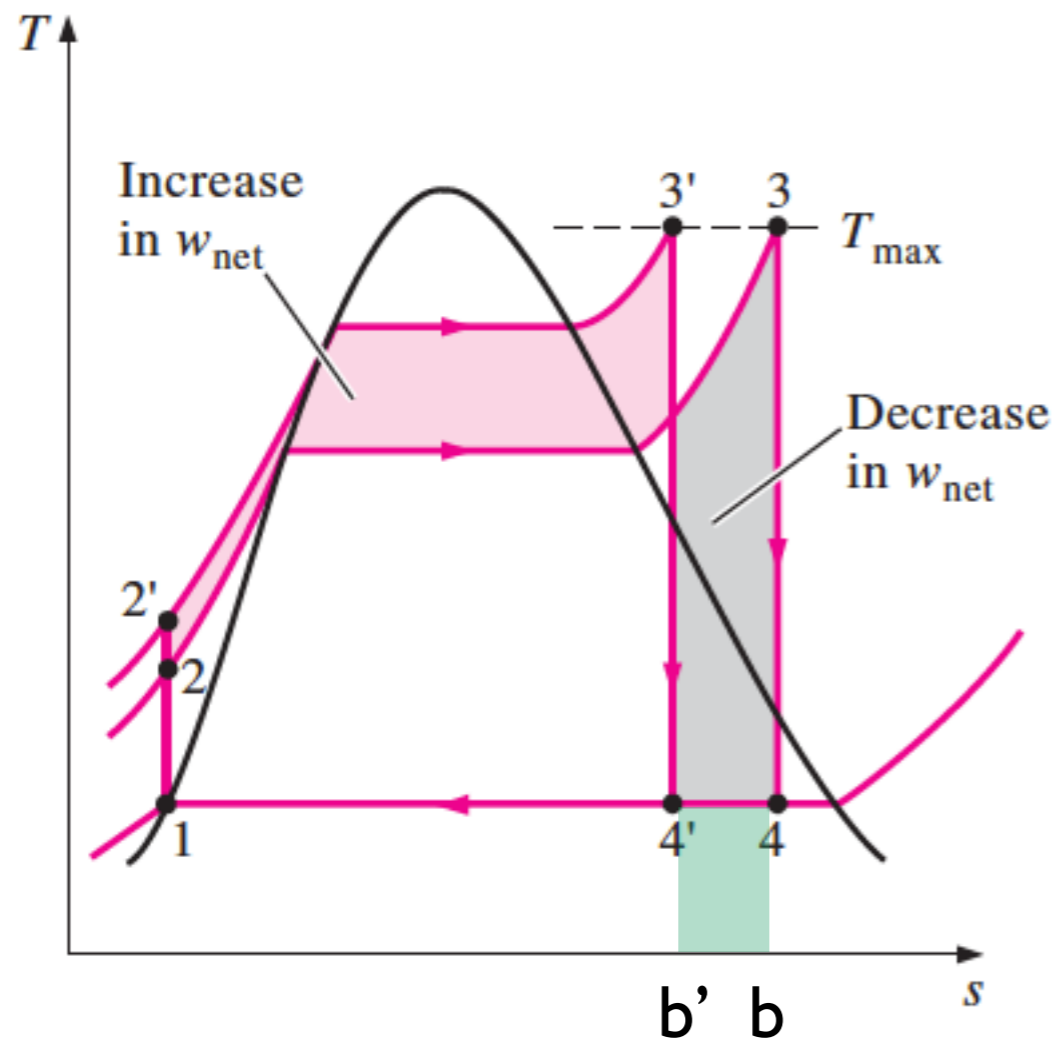
#### Attention!

- L'irréversibilité augmente (la totalité du chauffage est cette fois irréversible) et le rendement exergetique diminue.

$$\epsilon_{th} = 1 - \frac{q_F}{q_C}$$

$$\epsilon_{th} = 1 - \frac{T_F (s_{4'} - s_1)}{T_H (s_{3'} - s_2)} = 1 - \frac{T_F}{T_H}$$

### Augmentation de la pression maximale



- Le travail net augmente de la surface en rose et diminue de la surface en gris →  $w_{net} \sim \text{constant}$
- La chaleur rejetée diminue de l'aire 4'-4-b-b'-4' → efficacité et le rendement exergetique augmentent

$$\epsilon_{th} = 1 - \frac{q_F}{q_C}$$

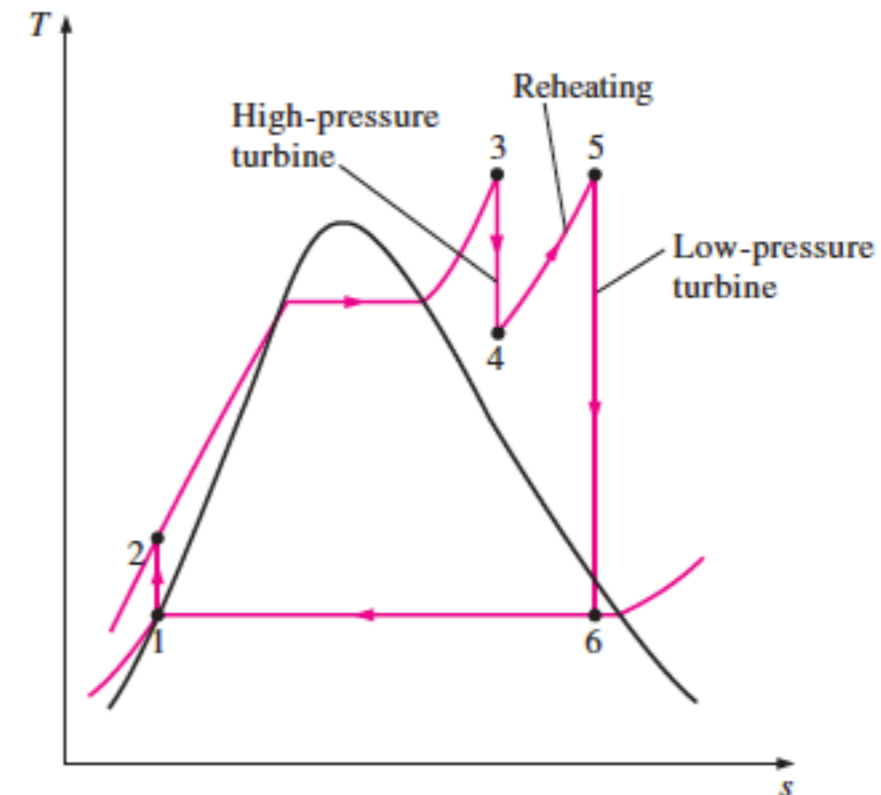
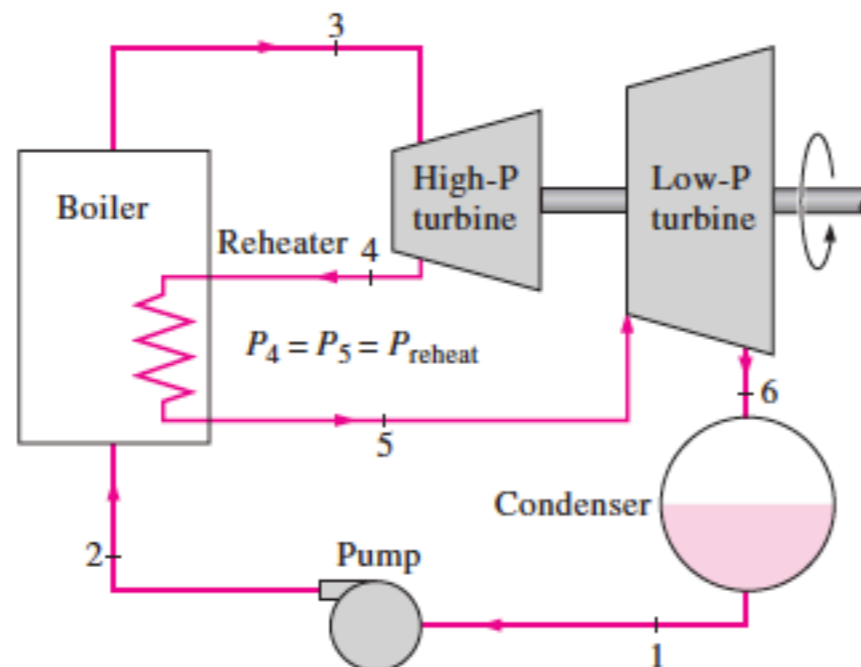
### Attention!

- La teneur en eau augmente

## Cycle à resurchauffe

Augmentation de la pression maximum  $\rightarrow$  augmentation de l'efficacité du cycle de Rankine-Hirn et de la teneur en eau à l'échappement

- Introduction d'une ou plusieurs resurchauffes  $\rightarrow$  efficacité presque constante mais teneur en eau réduite



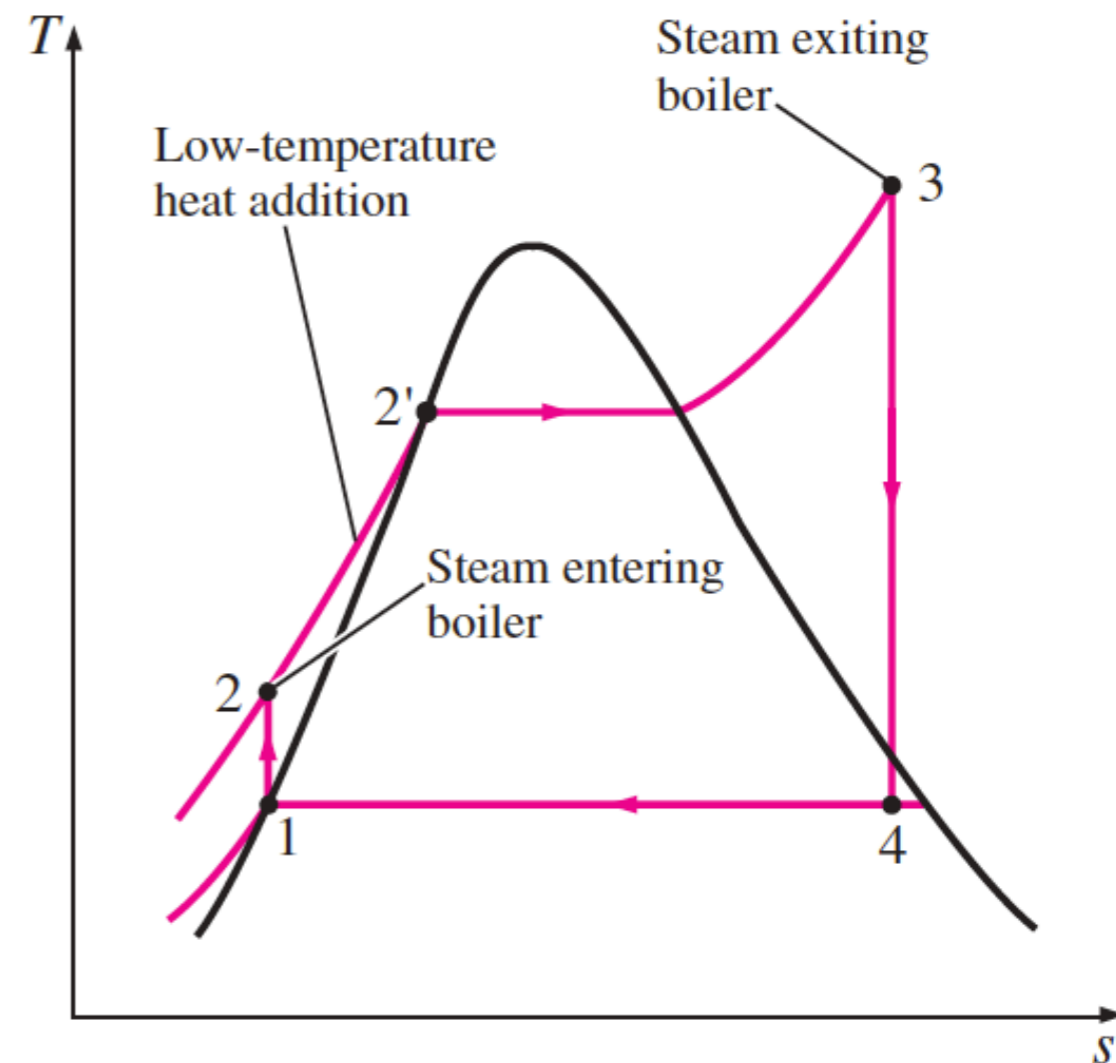
## Cycle à soutirage

Perte d'efficacité thermique et de rendement exergetique du cycle de Rankine-Hirn par rapport au cycle de Carnot:

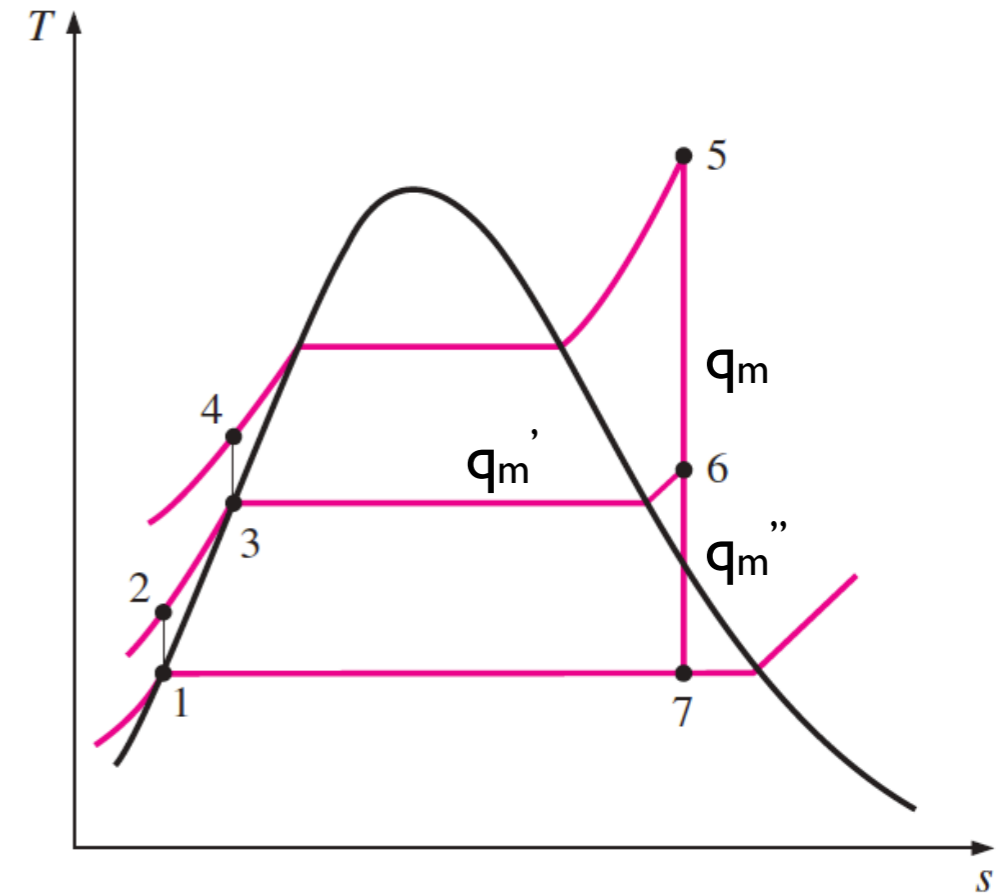
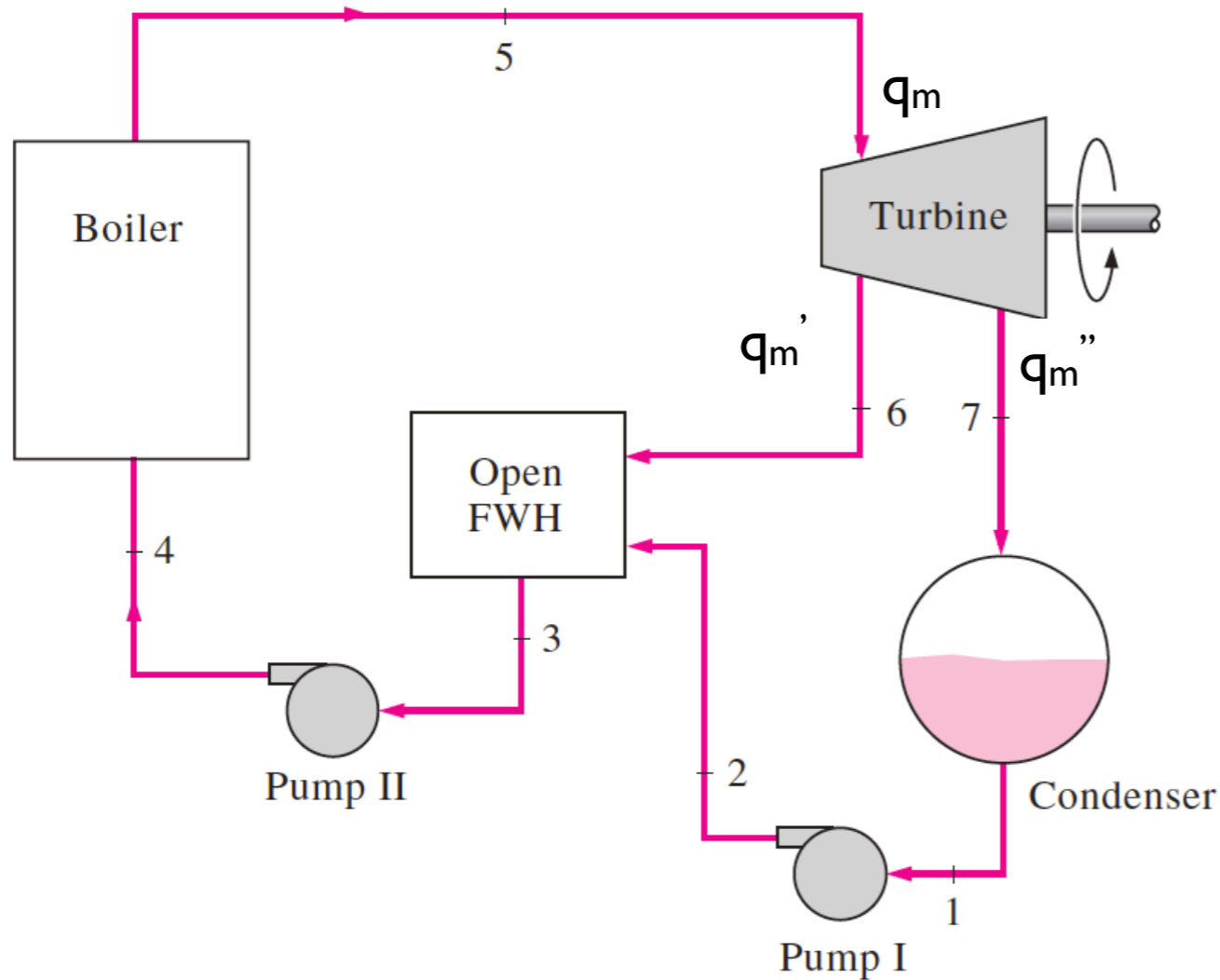
- transfère de chaleur à basse température (transformation 2-2')
- production d'entropie dans la phase de chauffage

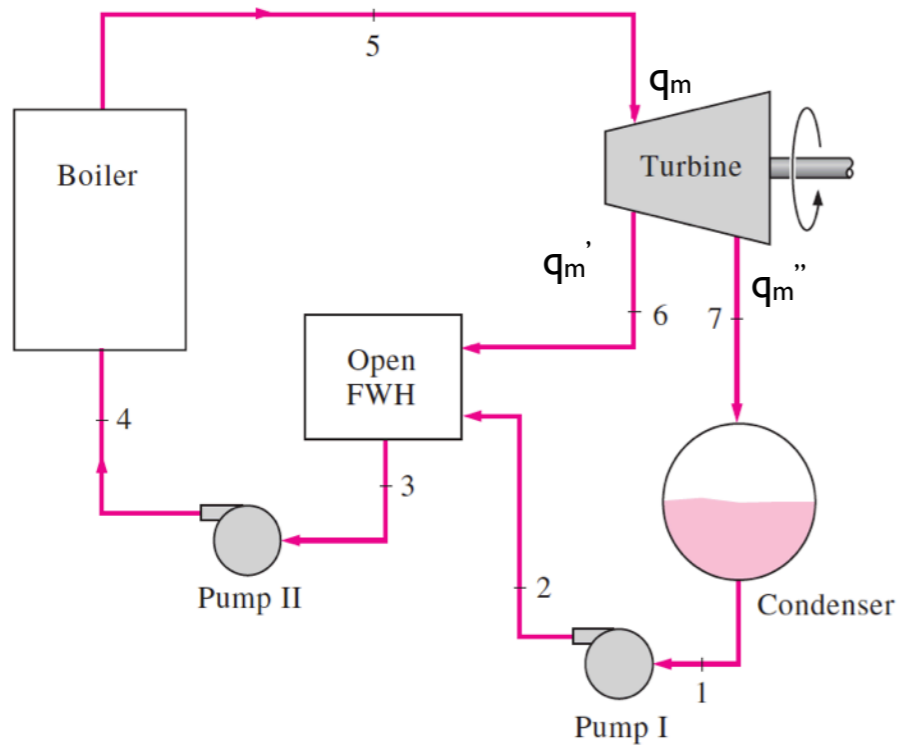
### Solution

- Prélèvement d'une fraction de vapeur dans la turbine à une pression intermédiaire → réchauffe de l'eau à la sortie de la pompe



### Cycle à soutirage





- ### Rendement du cycle à soutirage vs. cycle de Rankine
- Puissance consommée par la pompe I ~ 0
  - Puissance de la pompe auxiliaire (II) ~ 0

### Cycle de Rankine-Hirn

$$\epsilon_{th} = \frac{h_5 - h_7}{h_5 - h_2}$$

### Cycle à soutirage

$$\epsilon_{th} = \frac{q''_m (h_5 - h_7) + q'_m (h_5 - h_6)}{(q'_m + q''_m) (h_5 - h_3)}$$

### Mélangeur $q'_m, q''_m$

$$(q'_m + q''_m) h_3 = q'_m h_6 + q''_m h_2$$

$$q'_m (h_3 - h_6) = q''_m (h_2 - h_3)$$

$$\begin{aligned} \epsilon_{th} &= \frac{q''_m (h_5 - h_7) + q'_m (h_5 - h_6)}{q''_m (h_5 - h_2) + q''_m (h_2 - h_3) + q'_m (h_5 - h_3)} \\ &= \frac{q''_m (h_5 - h_7) + q'_m (h_5 - h_6)}{q''_m (h_5 - h_2) + q'_m (h_3 - h_6) + q'_m (h_5 - h_3)} \\ &= \frac{q''_m (h_5 - h_7) + q'_m (h_5 - h_6)}{q''_m (h_5 - h_2) + q'_m (h_5 - h_6)} \\ &= \frac{(h_5 - h_7) + \frac{q'_m}{q''_m} (h_5 - h_6)}{(h_5 - h_2) + \frac{q'_m}{q''_m} (h_5 - h_6)} \\ &> \frac{h_5 - h_7}{h_5 - h_2} = \epsilon_{th} \\ &\quad \text{car } h_5 > h_6 \text{ et } \epsilon_{th} < 1 \end{aligned}$$



### Cycle à soutirage

- En pratique, plusieurs soutirages et des réchauffeurs d'eau à mélange sont utilisés

